

(8)

## 端上高炉の装入物層厚変更試験

新日本製鉄 堆積研究所

浅井若実 中川孝  
花房章次 田村健二  
鶴見 慎

表1. 操業データ

	A期間	B期間
5/1~5/4	5/6~5/15	
コークス量 Tch	14.785	17.015
補正出銑量 Tch	5.575	5.469
コークス比 kg/t	3.89	3.92
重油比 kg/t	86.0	81.9
燃料比 kg/t	47.5	47.4
炉頂温度 °C	120	144
上部シヤフト温度 °C	420	387
平均ガス利用率 %	48.8	47.7
P/V	0.345	0.355
相対指標(3HS)	0.78	1.33
ORE/COKE	4.195	4.095
コークス層厚 mm	634	713

1. 緒言 分布改善によるガス利用率の向上により、コークス比の低下を目的とし高炉においてコークスベース変更(層厚の変更)の試験を実施した。その結果について報告する。

2. 試験方法 コークスベースを14.8 T/chより17 T/chに增加了。これにて装入スケジュールは換算能力より4スキップ装入から6スキップ装入に変更した。ガス分布の変化は装入物上5点のガス採取並びに測温的同时に行、得る装置を制定した。

## 3. 結果と考察

3-1. 各期間の主要操業データを表1. に示す。通気性についてはP/Vが若干增加し、相・スリップ回数の増加が認められた。

3-2. コークスベースを增加了した後よりシヤフト下部温度の急激な上昇が見られ、ついで炉頂盤廻りよりガス噴出が始まりコークスベースの增加は17 T/chに留めた。しかしシヤフト中部においてはほとんど変化せず、シヤフト上部は逆に若干低下している。(図1・表1)

3-3. 図2. のように、コークスベースの增加により、炉中心部のCOガス利用率( $\eta_{CO}$ )は大体に上昇したが逆に周辺部は $\eta_{CO}$ の低下が見られた。この結果平均 $\eta_{CO}$ は期待した上昇をせず、むしろ若干の低下となつた。また温度分布についてもガス分布と同様に、外部標準化への変化が認められた。これは中心部でコークス層厚に対する鉱石層厚が増加したことにより外部標準化したためである。燃料比は変化がなかったと考えられる。

3-4. 次に鉱石層厚に対するガス分布について理論的検討を行った。図3. のようにコークス・鉱石層の分布モデルに、粒度频率の偏析も考慮し、通気抵抗の分析よりガス流速分布を算出した。 $\eta_{CO}$ は被還元酸素量に比例し、CO容積流量に反比例するものと仮定して計算の結果では、コークスベースの增加により $\eta_{CO}$ 分布パターンは今回の試験と同様に中心部では上昇するが、平均の $\eta_{CO}$ は変化しなかつた。

4. 緒言 コークスベースの增加により、ガス分布は外部標準化することができ確認された。しかし平均 $\eta_{CO}$ の向上には、やはり少しもつながらないことを試験及び理論的検討によって認められた。ただし中心部の $\eta_{CO}$ が極端に低い内部標準のようだ。試験モデルの前提条件をはずれかのような場合には、平均のガス利用率の上昇によるコークス比の低下が期待されることが認められる。

記号:  $\alpha$ : 鉱石の傾斜角  $\alpha_0$ : コークスの傾斜角  $\theta$ : 鉱石装入後のコークス傾斜角

R: 炉口半径  $R_0$ : 中心部よりコークス傾斜角の距離まで距離 H: 1炉-3の層厚

$H_0$ : 鉱石装入前のコークス層厚  $H_x$ : 鉱石装入後の中心部におけるコークス層厚の増分

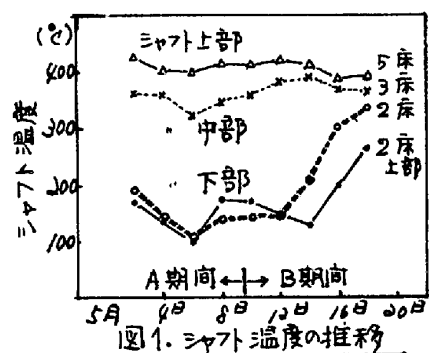


図1. シャフト温度の推移

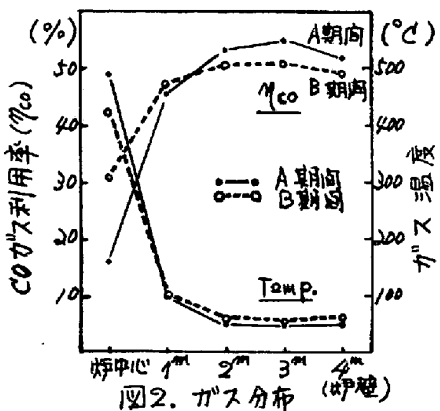


図2. ガス分布

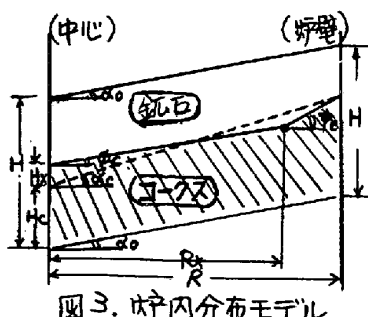


図3. 炉内分布モデル